



Laboratorium EMVO Sp. J. Urbański, Pawełak  
ul. Jasna 1  
00-013 Warszawa

tel. +48 22 780 29 64  
e-mail: laboratorium@emvo.pl

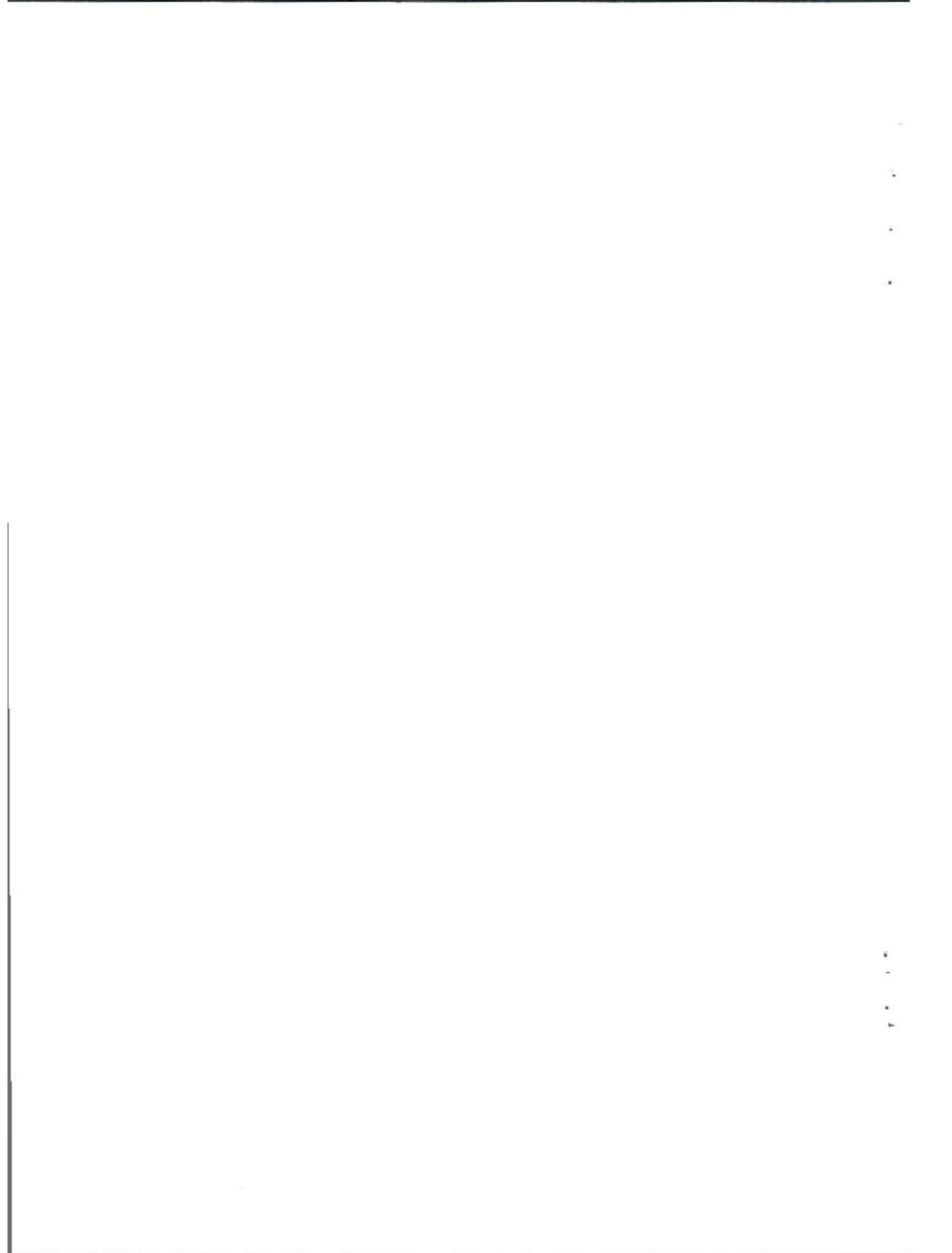


AB 1630

### Sprawozdanie z pomiarów pól elektromagnetycznych - środowisko ogólne nr 3/05/OŚ/2022 - ATE/WA

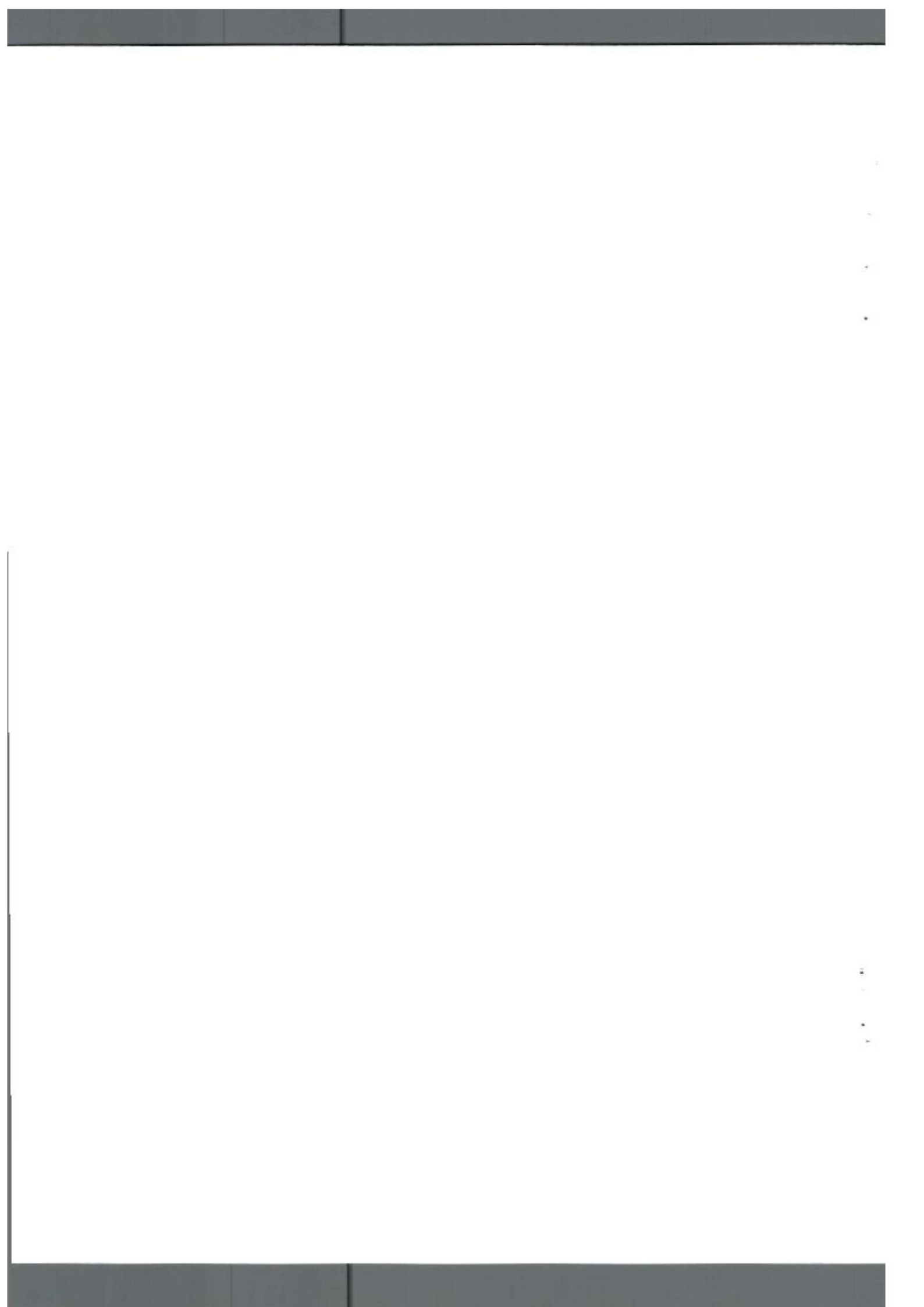


Nr i nazwa stacji	BT11754_LUB_1_MAJA	
Adres	20-408 Lublin ul. 1 Maja 44, dz. nr 1/4 (obr. 10, ark. 5) gm. Lublin, woj. lubelskie	
Opracowanie		Specjalista ds. pomiarów
Autoryzacja		Kierownik Laboratorium
Podpis	Podpis jest prawidłowy Dokument podpisany przez [redacted] Data: 2022.05.24 09:55:57 Powód: Zatwierdzam dokument	
Data	2022-05-23	



## Spis treści

1. Informacje ogólne.....	3
2. Podstawa prawna.....	3
3. Opis pomiarów.....	4
4. Zróżnicowanie dopuszczalne poziomy pól elektromagnetycznych.....	5
5. Charakterystyka źródeł PEM.....	5
6. Wyniki pomiarów.....	5
7. Stwierdzenie zgodności.....	7
8. Oświadczenie.....	8
9. Spis załączników.....	8



## 1. Informacje ogólne.

Zleceniodawca	ATEM – Polska Sp. z o.o., 20-315 Lublin, ul. Witosa 3 Osoba udzielająca informacji – [REDACTED]
Istotne informacje dostarczone przez klienta	komplet informacji niezbędnych do wykonania pomiarów i opracowania sprawozdania
Dane otrzymane od klienta mogące mieć wpływ na ważność wyników	Dane anten sektorowych, dane anten radioliniowych, parametry pracy instalacji, poprawka pomiarowa, ustawienie pochylenia anten
Prowadzący instalację	TOWERLINK POLAND SP. z.o.o., ul. Konstruktorska 4, 02-673 Warszawa
Lokalizacja obiektu	20-408 Lublin ul. 1 Maja 44, dz. nr 1/4 (obr. 10, ark. 5) gm. Lublin, woj. lubelskie
Miejsce instalacji anten	Dach budynku
Miejsce instalacji urządzeń	Outdoor
Osoby wykonujące pomiar	[REDACTED]
Data wykonania pomiaru	23.05.2022
Temperatura na początku pomiaru [°C]	12,0
Temperatura na koniec pomiaru [°C]	13,0
Warunki atmosferyczne	Brak opadów
Wilgotność na początku pomiaru [%]	60,0
Wilgotność na koniec pomiaru [%]	65,0
Godzina na początku pomiaru	7:40
Godzina na koniec pomiaru	9:40
Inne źródła pól elektromagnetycznych oznaczone na załączniku graficznym	Nie występują
Parametry pracy instalacji	Rzeczywisty

## 2. Podstawa prawna.

### 2.1 Normy i rozporządzenia:

- Rozporządzeniem Ministra Klimatu z dnia 17 lutego 2020 r. w sprawie sposobów sprawdzania dotrzymania dopuszczalnych poziomów pól elektromagnetycznych w środowisku (Dz.U. 2020 poz. 258)
- Rozporządzenie Ministra Zdrowia z dnia 17 grudnia 2019 r. w sprawie dopuszczalnych poziomów pól elektromagnetycznych w środowisku (Dz.U. 2019 poz. 2448)
- Obwieszczenie Marszałka Sejmu Rzeczypospolitej Polskiej z dnia 19 lipca 2019 r. w sprawie ogłoszenia jednolitego tekstu ustawy - Prawo ochrony środowiska (Dz.U. 2019 poz. 1396).

### 3. Opis pomiarów

Metodologia pomiarowa	Pomiary w oparciu o Rozporządzeniem Ministra Klimatu z dnia 17 lutego 2020 r. w sprawie sposobów sprawdzania dotrzymania dopuszczalnych poziomów pól elektromagnetycznych w środowisku (Dz.U. 2020 poz. 258).
Cel badań	Określenie wartości natężenia pola elektrycznego w miejscach dostępnych dla ludności.
Opis zestawu pomiarowego	Miernik Narda NBM 520, Sonda EF 9091, o zakresie pomiarowym 0,7 V/m - 300V/m pracująca w paśmie 0,1 – 90 GHz, świadectwo wydane przez Laboratorium Wzorców i Metrologii Pola Elektromagnetycznego, Instytut Telekomunikacji, Teleinformatyki i Akustyki Politechniki Wrocławskiej. Świadectwo ważne do 07.07.2023. Miernik Narda NBM 520, Sonda EF 9091 pracująca w zakresie temperatury -10°C - +50°C oraz wilgotności 5% - 95%. Niepewność rozszerzona wynosi 57% przy poziomie ufności 95% z uwzględnieniem współczynnika rozszerzenia k=2.
Wypożyczenie pomocnicze	Termohigrometr Termoprodukt, typ: Termik+, nr identyfikacyjny 700618, świadectwo wzorcowania nr 1763/AH/19 z dn. 29.07.2019 r. wydane przez Laboratorium Pomiarowe "MUTECH". Przymiar wstęgowy STABILA, nr identyfikacyjny 31WL, świadectwo wzorcowania nr 6W1/1826/19 z dn. 02.08.2019 r. wydane przez Dyrektora Okręgowego Urzędu Miar w Gdańsku. GPS Garmin 64s okresowo sprawdzany w punktach osnowy geodezyjnej klasy 3 na podstawie licencji punktu, zgodnie z procedurą sprawdzeń okresowych IS/PO16-11/03.
Pomiary zostały wykonane	<ol style="list-style-type: none"><li>1. na głównych i pomocniczych kierunkach pomiarowych, na kierunkach zbliżonych do azymutów anten oraz w dodatkowych pionach pomiarowych zgodnie z wymaganiami pkt 12, 13, 14 i 19 załącznika do rozporządzenia Ministra Klimatu z dnia 17 lutego 2020 r. (Dz. U. 2020, poz. 258),</li><li>2. na obszarze pomiarowym, dla którego, na podstawie uprzednio wykonanych obliczeń uzyskanych od zleceniodawcy, stwierdzono możliwość występowania pól elektromagnetycznych o poziomach zbliżonych do poziomów dopuszczalnych zgodnie z wymaganiami pkt 5 ppkt 2 oraz pkt 13 ppkt 1 załącznika do rozporządzenia Ministra Klimatu z dnia 17 lutego 2020 r. (Dz. U. 2020, poz. 258). Wyniki obliczeń nie uwzględniały parametrów pracy instalacji innych operatorów występujących na obiekcie bądź w obszarze pomiarowym.</li><li>3. w miejscach dostępnych dla ludności.</li><li>4. miejsca niedostępne podczas wykonywania pomiarów wskazane zostały w pkt 6 (tabeli wyniki pomiarów)</li><li>5. wyniki pomiarów uzyskane zostały przy uwzględnieniu poprawek pomiarowych przekazanych przez zleceniodawcę oraz przy rzeczywistych warunkach pracy instalacji innych operatorów (w przypadku występowania). W takiej sytuacji uwzględniono jednolitą poprawkę pomiarową wynoszącą 1,7.</li></ol>
Szczególne warunki podczas wykonywania pomiarów	Pomiary wykonane zostały podczas obowiązywania w kraju stanu epidemii, zgodnie z art. 122a ust. 1b Ustawy z dnia 27 kwietnia 2001 r. – Prawo ochrony środowiska (Dz. U. z 2019 r. poz. 1396, z późn. zm.9))
Warunki pracy urządzeń nadawczych	Podczas pomiarów zostały uwzględnione poprawki pomiarowe przekazane przez zleceniodawcę, umożliwiające uwzględnienie maksymalnych parametrów pracy instalacji zgodnie z pkt 7 załącznika do Rozporządzeniem Ministra Klimatu z dnia

#### 4. Zróżnicowanie dopuszczalne poziomy pól elektromagnetycznych.

Zakresy znajdują się w Dzienniku Ustaw z dnia 17 grudnia 2019 r. przestawione są w tabeli nr 2 (Dz. U. z 2019r. poz. 2448).

Parametr fizyczny	Składowa elektryczna E (V/m)	Składowa magnetyczna H (A/m)	Gęstość mocy S (W/m <sup>2</sup> )
Zakres Częstotliwości pola elektromagnetycznego			
od 400 MHz do 2000 MHz	$1,375 \times f^{0,5}$	$0,0037 \times f^{0,5}$	$f / 200$
od 2 GHz do 300 GHz	61	0,16	10

#### 5. Charakterystyka źródeł PEM.

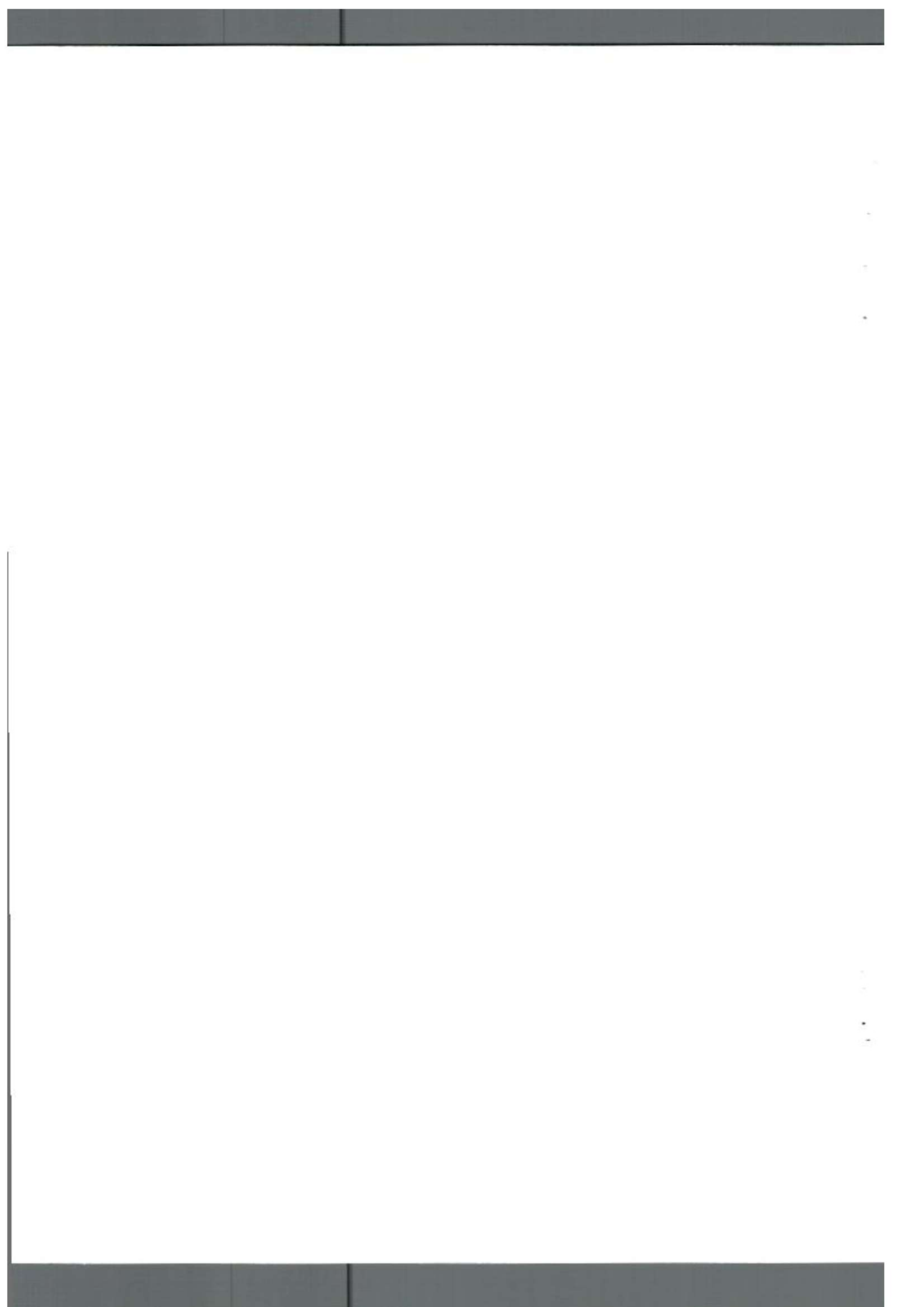
Zgodnie z informacją otrzymaną od Klienta pomiary zostały wykonane przy ustawieniach pochylecia anten zgodnych z pkt. 13, ppkt 2 załącznika do rozporządzenia Ministra Klimatu z dnia 17 lutego 2020 roku.

Tabela 1. Anteny sektorowe - dane otrzymane od klienta

Typ anteny	Współrzędne geograficzne	Azymut mechaniczny [°]	Azymut elektryczny [°]	Wysokość środka elektrycznego anten n.p.t. [m]	Pasmo częstotliwości	Zakres pochylecia elektrycznego [°]	Średnie pochylecia anten (ustawione do pomiarów PEM) [°]	Kąt pochylecia mechanicznego [°]	Moc EIRP [W]	Suma EIRP [W]
742266	51°13'55.95"N 22°34'08.04"E	50	50	29,5	1800	0-3	1,5	0	1112	4920
					900	0-3	1,5	0	3808	
742266	51°13'55.95"N 22°34'08.04"E	170	170	29,5	1800	0-6	3,0	0	1112	4920
					900	0-6	3,0	0	3808	
742266	51°13'55.95"N 22°34'08.04"E	290	290	29,5	1800	0-6	3,0	0	1112	4920
					900	0-6	3,0	0	3808	
742271V03	51°13'55.95"N 22°34'08.04"E	50	50	26,8	1800	0-3	1,5	0	2749	3696
					2100	0-3	1,5	0	947	
					800	0-3	1,5	0	0	
742271V03	51°13'55.95"N 22°34'08.04"E	170	170	26,8	1800	0-3	3,0	0	2749	3696
					2100	0-3	3,0	0	947	
					800	0-3	3,0	0	0	
742271V03	51°13'55.95"N 22°34'08.04"E	290	290	26,8	1800	0-3	3,0	0	2749	3696
					2100	0-3	3,0	0	947	
					800	0-3	3,0	0	0	

Tabela 2. Anteny radioliniowe- dane otrzymane od klienta

Typ anteny	Współrzędne geograficzne	Azymut [°]	Średnica [m]	Pasmo częstotliwości [GHz]	Zysk energetyczny [dBi]	Moc wyjściowa nadajnika [dBm]	EIRP [W]	Wysokość środka elektrycznego anten n.p.t. [m]
VHLP1-80	51°13'55.95"N 22°34'08.04"E	44	0,3	80	43,5	12	354,81	25,0
VHLP1-80	51°13'55.95"N 22°34'08.04"E	292	0,3	80	43,5	12	354,81	24,5





## 6. Wyniki pomiarów.

Wyniki pomiarów pól elektromagnetycznych dla celów ochrony środowiska przedstawia poniższa tabela. Piony pomiarowe zostały przedstawione w zał. 2.

Nr PP	Pole-E [V/m]	Pole-E *kE, +U [V/m]	Pole-H [A/m]	Pole-H *kE +U [A/m]	Wys. pomiaru [m]	Opis pionu	Uwagi	WM <sub>E</sub>	WM <sub>H</sub>
1	0,8	2,14	0,002	0,006	0,3-2,0	N:51°13'57.1" E:22°34'11.4"	otoczenie stacji bazowej - 60m wzdłuż gł. osi promieniowania - GKP	0,076	0,078
2	0,7*	2,14	0,002	0,006	0,3-2,0	N:51°13'58.1" E:22°34'13.5"	otoczenie stacji bazowej - 120m wzdłuż gł. osi promieniowania - GKP	0,076	0,078
3	0,7*	2,14	0,002	0,006	0,3-2,0	N:51°13'59.6" E:22°34'16.9"	otoczenie stacji bazowej - 200m wzdłuż gł. osi promieniowania - GKP	0,076	0,078
4	0,7*	2,14	0,002	0,006	0,3-2,0	N:51°17'00.8" E:22°34'19.7"	otoczenie stacji bazowej - 250m wzdłuż gł. osi promieniowania - GKP	0,076	0,078
5	0,7*	2,14	0,002	0,006	0,3-2,0	N:51°17'01.6" E:22°34'21.2"	otoczenie stacji bazowej - 295m wzdłuż gł. osi promieniowania - GKP	0,076	0,078
6	0,8	2,14	0,002	0,006	0,3-2,0	N:51°13'54.6" E:22°34'08.8"	otoczenie stacji bazowej - 35m wzdłuż gł. osi promieniowania - GKP	0,076	0,078
7	0,7*	2,14	0,002	0,006	0,3-2,0	N:51°13'46.2" E:22°34'10.9"	otoczenie stacji bazowej - 295m wzdłuż gł. osi promieniowania - GKP	0,076	0,078
8	0,7*	2,14	0,002	0,006	0,3-2,0	N:51°13'56.9" E:22°34'03.9"	otoczenie stacji bazowej - 100m wzdłuż gł. osi promieniowania - GKP	0,076	0,078
9	0,7*	2,14	0,002	0,006	0,3-2,0	N:51°13'57.8" E:22°34'01.2"	otoczenie stacji bazowej - 150m wzdłuż gł. osi promieniowania - GKP	0,076	0,078
10	0,7*	2,14	0,002	0,006	0,3-2,0	N:51°13'58.2" E:22°33'59.2"	otoczenie stacji bazowej - 200m wzdłuż gł. osi promieniowania - GKP	0,076	0,078
11	0,7*	2,14	0,002	0,006	0,3-2,0	N:51°13'59.1" E:22°33'56.3"	otoczenie stacji bazowej - 250m wzdłuż gł. osi promieniowania - GKP	0,076	0,078
12	0,7*	2,14	0,002	0,006	0,3-2,0	N:51°13'59.7" E:22°33'54.7"	otoczenie stacji bazowej - 295m wzdłuż gł. osi promieniowania - GKP	0,076	0,078
13	0,7*	2,14	0,002	0,006	0,3-2,0	N:51°13'58.5" E:22°34'13.5"	otoczenie stacji bazowej - 130m wzdłuż gł. osi promieniowania - GKP	0,076	0,078
14	0,7*	2,14	0,002	0,006	0,3-2,0	N:51°13'56.6" E:22°34'11.9"	otoczenie stacji bazowej - GKP	0,076	0,078
15	0,7*	2,14	0,002	0,006	0,3-2,0	N:51°13'55.9" E:22°34'10.1"	otoczenie stacji bazowej - GKP	0,076	0,078
16	0,7*	2,14	0,002	0,006	0,3-2,0	N:51°13'54.5" E:22°34'08.0"	otoczenie stacji bazowej - GKP	0,076	0,078
17	0,7*	2,14	0,002	0,006	0,3-2,0	N:51°13'55.4" E:22°34'07.6"	otoczenie stacji bazowej - GKP	0,076	0,078
18	0,7*	2,14	0,002	0,006	0,3-2,0	N:51°13'55.5" E:22°34'04.8"	otoczenie stacji bazowej - GKP	0,076	0,078
19	0,7*	2,14	0,002	0,006	0,3-2,0	N:51°13'56.8" E:22°34'08.1"	otoczenie stacji bazowej - GKP	0,076	0,078
20	0,7*	2,14	0,002	0,006	0,3-2,0	N:51°13'58.1" E:22°34'08.6"	otoczenie stacji bazowej - GKP	0,076	0,078
A	0,7*	2,14	0,002	0,006	0,3-2,0	N:51°13'56.2" E:22°34'09.6"	Pocztowa 2, pomiar przed budynkiem -DPP	0,076	0,078
B	0,8	2,14	0,002	0,006	0,3-2,0	N:51°13'56.6" E:22°34'08.1"	1 Maja 42, pomiar przed budynkiem -DPP	0,076	0,078
C	0,7*	2,14	0,002	0,006	0,3-2,0	N:51°13'57.1" E:22°34'08.4"	1 Maja 40, pomiar przed budynkiem -DPP	0,076	0,078
D	0,7*	2,14	0,002	0,006	0,3-2,0	N:51°13'57.6" E:22°34'08.9"	1 Maja 38, pomiar przed budynkiem -DPP	0,076	0,078
E	0,7*	2,14	0,002	0,006	0,3-2,0	N:51°13'57.9" E:22°34'09.1"	1 Maja 36, pomiar przed budynkiem -DPP	0,076	0,078
F	0,7*	2,14	0,002	0,006	0,3-2,0	N:51°13'58.5" E:22°34'09.4"	1 Maja 34, pomiar przed budynkiem -DPP	0,076	0,078
G	0,7*	2,14	0,002	0,006	0,3-2,0	N:51°13'59.3" E:22°34'10.1"	1 Maja 32, pomiar przed budynkiem -DPP	0,076	0,078
H	0,8	2,14	0,002	0,006	0,3-2,0	N:51°13'59.2" E:22°34'09.1"	1 Maja 47, pomiar przed budynkiem -DPP	0,076	0,078

„Bez pisemnej zgody Laboratorium niniejsze sprawozdanie nie może być powielane inaczej, jak tylko w całości. Ponadto wyniki dotyczą tylko badanych obiektów przywołanych w niniejszym sprawozdaniu z badań”  
3/05/OŚ/2022 - ATE/WA



I	0,7*	2,14	0,002	0,006	0,3-2,0	N:51°13'58.7" E:22°34'08.8"	1 Maja 49, pomiar przed budynkiem -DPP	0,076	0,078
J	0,7*	2,14	0,002	0,006	0,3-2,0	N:51°13'58.1" E:22°34'08.4"	1 Maja 51, pomiar przed budynkiem -DPP	0,076	0,078
K	0,7*	2,14	0,002	0,006	0,3-2,0	N:51°13'57.5" E:22°34'07.9"	1 Maja 53, pomiar przed budynkiem -DPP	0,076	0,078
L	0,7*	2,14	0,002	0,006	0,3-2,0	N:51°13'57.1" E:22°34'07.7"	1 Maja 55, pomiar przed budynkiem -DPP	0,076	0,078
M	0,7*	2,14	0,002	0,006	0,3-2,0	N:51°13'56.6" E:22°34'07.2"	1 Maja 57, pomiar przed budynkiem -DPP	0,076	0,078
N	0,8	2,14	0,002	0,006	0,3-2,0	N:51°13'56.0" E:22°34'06.6"	Plac Dworcowa 4a, pomiar przed budynkiem -DPP	0,076	0,078
O	0,8	2,14	0,002	0,006	0,3-2,0	N:51°13'55.5" E:22°34'05.7"	Plac Dworcowa 4, pomiar przed budynkiem -DPP	0,076	0,078
P	0,8	2,14	0,002	0,006	0,3-2,0	N:51°13'55.8" E:22°34'08.0"	1 Maja 44, pomiar przed budynkiem -DPP	0,076	0,078
R	0,8	2,14	0,002	0,006	0,3-2,0	N:51°13'53.9" E:22°34'07.8"	Dworcowa 1, pomiar przed budynkiem -DPP	0,076	0,078
S	0,8	2,14	0,002	0,006	0,3-2,0	N:51°13'56.1" E:22°34'09.5"	Pocztowa 2, pomiar przed budynkiem -DPP	0,076	0,078
T	0,8	2,14	0,002	0,006	0,3-2,0	N:51°13'56.5" E:22°34'10.0"	Pocztowa 4, pomiar przed budynkiem -DPP	0,076	0,078
U	0,8	2,14	0,002	0,006	0,3-2,0	N:51°13'56.7" E:22°34'10.7"	1 Maja 38a, pomiar przed budynkiem -DPP	0,076	0,078
W	0,7*	2,14	0,002	0,006	0,3-2,0	N:51°13'57.4" E:22°34'11.1"	Pocztowa 8, pomiar przed budynkiem -DPP	0,076	0,078
V	0,7*	2,14	0,002	0,006	0,3-2,0	N:51°13'58.5" E:22°34'11.9"	Pocztowa 8a, pomiar przed budynkiem -DPP	0,076	0,078
X	0,7*	2,14	0,002	0,006	0,3-2,0	N:51°13'58.7" E:22°34'16.3"	Kunickiego 15, pomiar przed budynkiem -DPP	0,076	0,078
Y	0,7*	2,14	0,002	0,006	0,3-2,0	N:51°13'59.3" E:22°34'16.1"	Kunickiego 13, pomiar przed budynkiem -DPP	0,076	0,078
Z	0,7*	2,14	0,002	0,006	0,3-2,0	N:51°13'59.8" E:22°34'15.7"	Kunickiego 11, pomiar przed budynkiem -DPP	0,076	0,078
A1	0,7*	2,14	0,002	0,006	0,3-2,0	N:51°13'59.9" E:22°34'16.8"	Kunickiego 24, pomiar przed budynkiem -DPP	0,076	0,078
B1	0,7*	2,14	0,002	0,006	0,3-2,0	N:51°14'00.8" E:22°34'19.5"	Kunickiego 14a, pomiar przed budynkiem -DPP	0,076	0,078
C1	0,7*	2,14	0,002	0,006	0,3-2,0	N:51°13'58.4" E:22°34'03.4"	Młyńska 14, pomiar przed budynkiem -DPP	0,076	0,078
D1	0,7*	2,14	0,002	0,006	0,3-2,0	N:51°13'58.2" E:22°34'05.1"	Młyńska 14a, pomiar przed budynkiem -DPP	0,076	0,078
E1	Brak dostępu - torowisko								

Wynik pomiaru pole - E [V/m] - maksymalna wartość chwilowa zmierzona w danym pionie pomiarowym (uśredniona na podstawie punktu 11 Załącznika do Rozporządzenia Ministra Zdrowia).

Przyjęto najniższą dopuszczalną wartość składowej elektrycznej pola dla objętego pomiarami zakresu częstotliwości  $\min(ME_{gr}) = 28 \text{ V/m}$  oraz składowej magnetycznej  $\min(MH_{gr}) = 0,073 \text{ A/m}$ .

\* - wartość zmierzona poniżej zakresu akredytacji. Do obliczeń przyjęto wartość zgodną z dolną granicą akredytowanego zakresu pomiarowego metody.

GKP - główne kierunki pomiarowe

PKP - pomocnicze kierunki pomiarowe

DPP - dodatkowe punkty pomiarowe

PP - pion pomiarowy

U - niepewność pomiarowa rozszerzona, przy poziomie ufności 95%, z uwzględnieniem współczynnika rozszerzenia  $k=2$

kE - poprawka pomiarowa badanej instalacji radiokomunikacyjnej podana przez operatora ( $kE=1,7$ ), poprawka pomiarowa w przypadku oddziaływania innych instalacji radiokomunikacyjnych na badany obszar ( $kE=2,0$ )

WM<sub>E</sub> - wartość wskaźnikowa poziomu emisji pól elektromagnetycznych dla miejsc dostępnych dla ludności dla składowej elektrycznej pola

WM<sub>H</sub> - wartość wskaźnikowa poziomu emisji pól elektromagnetycznych dla miejsc dostępnych dla ludności dla składowej magnetycznej pola

## **7. Stwierdzenie zgodności**

Na podstawie wytycznych podanych w Rozporządzeniu Ministra Zdrowia z dnia 17 grudnia 2019 r. w sprawie dopuszczalnych poziomów pól elektromagnetycznych w środowisku (Dz.U. 2019 poz. 2448) oraz sposobów sprawdzania dotrzymania tych poziomów zgodnie z Rozporządzeniem Ministra Klimatu z dnia 17 lutego 2020 r. w sprawie sposobów sprawdzania dotrzymania dopuszczalnych poziomów pól elektromagnetycznych w środowisku (Dz.U. 2020 poz. 258) dotyczących źródła wymagań, które muszą być spełnione (załącznik do rozporządzenia Ministra Klimatu z dnia 17 lutego 2020 r. (poz. 258)), w oparciu o zasadę podejmowania decyzji zgodną z pkt 26 załącznika do rozporządzenia Ministra Klimatu z dnia 17 lutego 2020 r. (poz. 258), na podstawie wyników pomiarów pól elektromagnetycznych wykonanych w dniu 23.05.2022 stwierdzono, iż w miejscach dostępnych dla ludności, dopuszczalne poziomy pól elektromagnetycznych w środowisku, określone w przepisach wydanych na podstawie art. 122 ust. 1 ustawy z dnia 27 kwietnia 2001 r. – Prawo ochrony środowiska, uznaje się za dotrzymane w obszarze pomiarowym, w którym w wyniku zastosowania sposobu sprawdzenia dotrzymania dopuszczalnych poziomów pól elektromagnetycznych w środowisku, udokumentowano, że żadna z wartości wskaźnikowych nie przekracza wartości 1.

## **8. Oświadczenie.**

Wyniki badania odnoszą się wyłącznie do badanego obiektu.

Bez pisemnej zgody sprawozdanie nie może być powielane inaczej, jak tylko w całości.

Uwagi i zastrzeżenia przyjmowane są w formie pisemnej w ciągu 14 dni od daty otrzymania sprawozdania.

## **9. Spis załączników.**

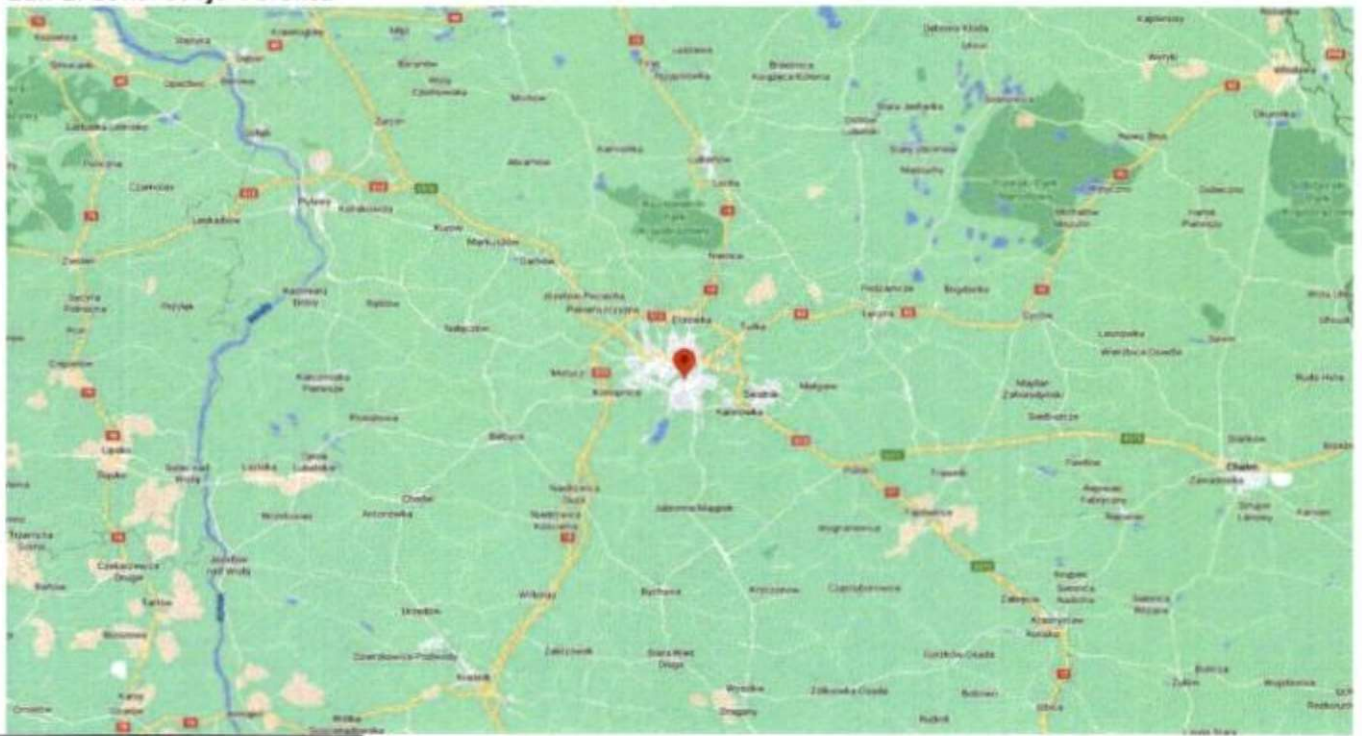
Zał. 1. Lokalizacja obiektu.

Zał. 2. Widok pionów pomiarowych

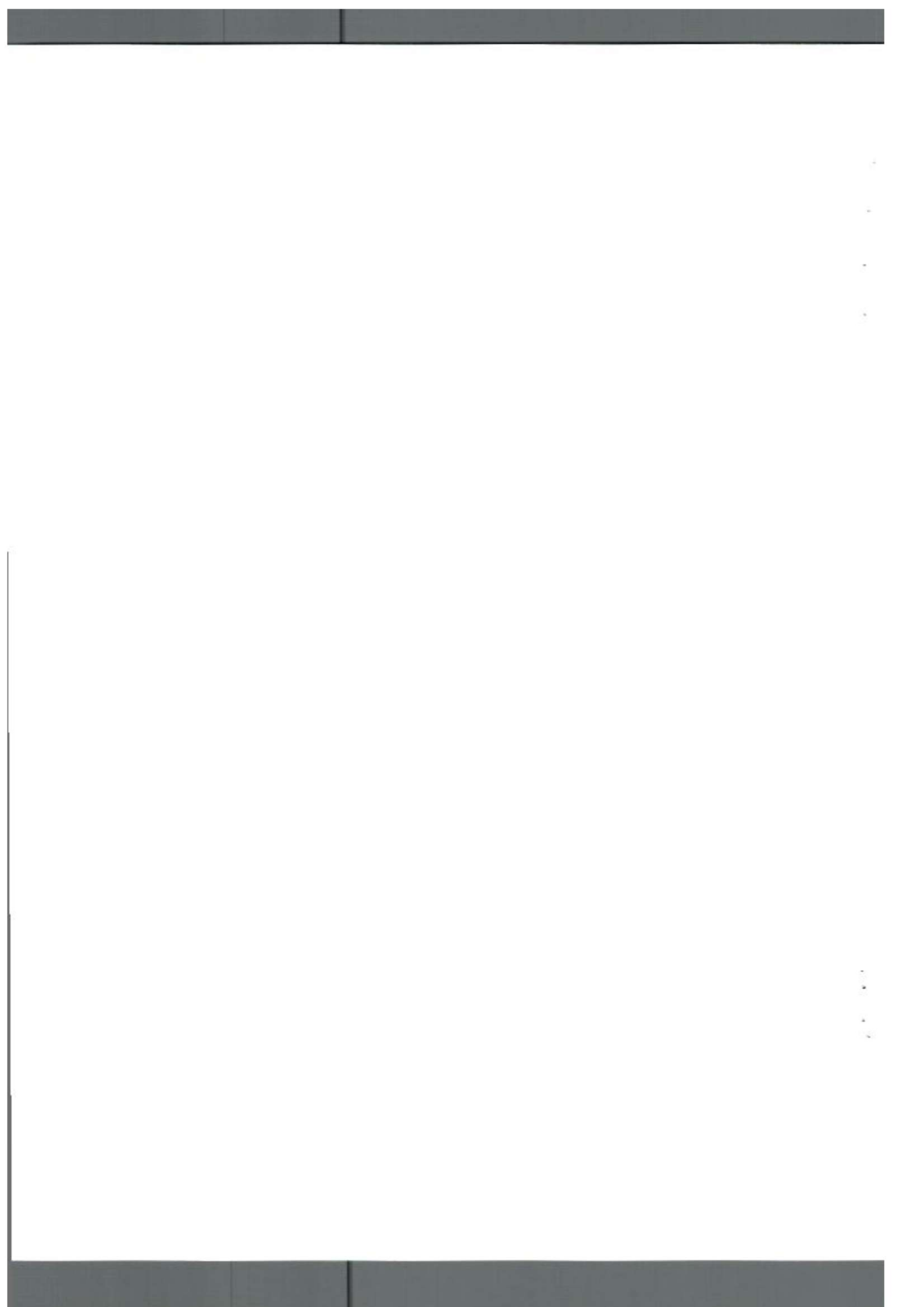
Zał. 3. Załączniki graficzne

**Koniec sprawozdania**

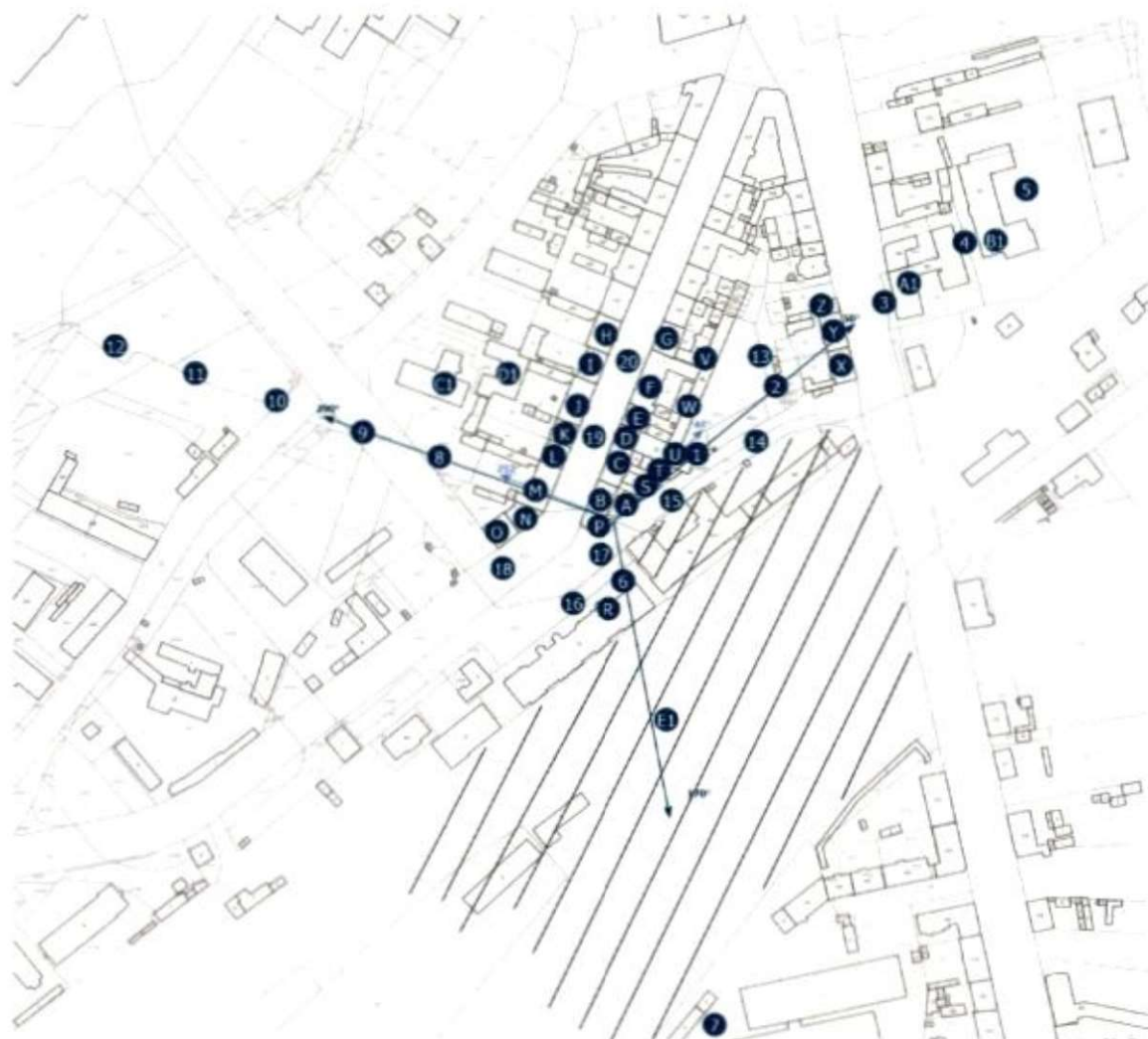
## Zał. 1. Lokalizacja obiektu



Współrzędne geograficzne	
długość:	22°34'08.04"E
szerokość:	51°13'55.95"N




Zał. 2. Widok pionów pomiarowych





**LEGENDA:**


 inna instalacja radiokomunikacyjna

Odległość, do której zostały wykonane pomiary mierząc od instalacji antenowej wynosi min.: 295 metrów.

 brak dostępu

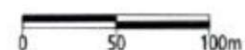
 pion pomiarowy z poprawką pomiarową (brak innych instalacji radiokomunikacyjnych)

 pion pomiarowy z poprawką pomiarową (w zasięgu innych instalacji radiokomunikacyjnych)

 > antena sektorowa

 > antena radioliniowa

Skala: 1:5000



Zał. 3. Załączniki graficzne.

